



Тищенко Л. Н.

Слипченко М. В.

Харьковский  
национальный  
технический  
университет  
сельского хозяйства  
им. П. Василенко

УДК 631.362.36; 621.928.9

## К ПОСТРОЕНИЮ ВНУТРЕННИХ ПОВЕРХНОСТЕЙ ТАРЕЛЬЧАТОГО РАЗБРАСЫВАТЕЛЯ ВИБРОЦЕНТРОБЕЖНОГО СЕПАРАТОРА

Досліджено внутрішні поверхні тарільчастого розкидувача пневмосепаруючого пристрою вібровідцентрового сепаратора. Визначено коефіцієнти першої, другої і третьої квадратичних форм поверхонь, які необхідні для їх побудови, з урахуванням конкретного виду. Складено рівняння нерозривності потоку зернової суміші з урахуванням одержаних значень.

Inner surfaces of the poppet spreader of vibrocentrifugal separator air aspiration device are investigated. Required to build coefficients of the first, second and third quadratic form of a surfaces with given its particular species are defined. Grain mixture flow continuity equation with the results obtained are compiled.

**Постановка проблемы.** Для повышения эффективности очистки зерновых смесей (ЗС) виброцентробежными сепараторами ОАО "Вибросепаратор" (г. Житомир) разработано новое веерно-кольцевое конусно-каскадное пневмосепарирующее устройство (ПСУ) [1], в котором процесс очистки осуществляется воздушным потоком (ВП). Очистка ЗС от легких примесей осуществляется как на воздухопроницаемой конусно-каскадной поверхности [2,3], так и при сходе с тарельчатого разбрасывателя. Исследование геометрии внутренних поверхностей тарельчатого разбрасывателя необходимо для изучения динамики очистки ЗС от легких примесей.

### Формулировка целей статьи.

Определение коэффициентов первой, второй и третьей квадратичных форм внутренних поверхностей тарельчатого разбрасывателя. Составление уравнения неразрывности потока очищаемой зерновой смеси с учетом конкретных значений.

**Основная часть.** Движение ЗС происходит по внутренней поверхности  $S_2$  (рис. 1), описываемой зависимостью:

$$z = Z(r) =$$

$$= \begin{cases} \frac{-d_1^2 + 4h_1^2 + \sqrt{d_1^4 - 8d_1^2h_1^2 + 16h_1^4 + 64d_1rh_1^2 - 64r^2h_1^2}}{8h_1} & (0 \leq r \leq r_B) \\ k\left(\frac{D_1}{2} - r\right) & (r_B \leq r \leq D_1/2). \end{cases} \quad (1)$$

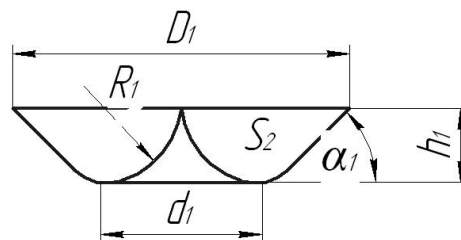


Рис. 1. Расчетная схема тарельчатого разбрасывателя

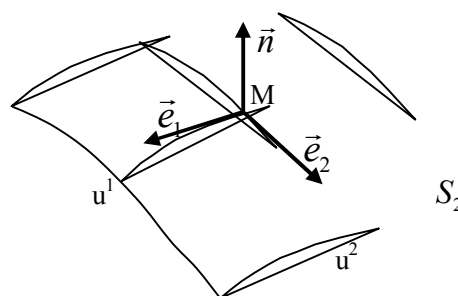


Рис. 2. Геометрия поверхности  $S_2$



Помимо цилиндрической системы координат введем еще декартовы координаты  $(x, y, z)$  с осью  $Oz$ , совпадающей с соответствующей осью цилиндрической системы координат.

Тогда параметрическое задание поверхности  $S_2$  (рис.2) можно осуществить посредством соотношений:

$$\begin{aligned} \vec{r} &= \vec{R}_0(u^1, u^2) = \vec{R}_0(r, \varphi) = \\ &= (u^1 \cos(u^2), u^1 \sin(u^2), Z(u^1)) = \\ &= (r \cos(\varphi), r \sin(\varphi), Z(r)) \end{aligned} \quad (2)$$

где  $\vec{r}$  – радиус-вектор точки поверхности  $S_2$ ;  $Z(r)$  – определяется (1);  $u^1 \equiv r$ ,  $u^2 \equiv \varphi$ . Для построения внутренней поверхности важно знать первую А, вторую В и третью С квадратичные формы поверхности  $S_2$  [4,5]:

$$\begin{aligned} A &= d\vec{R}_0 \cdot d\vec{R}_0 = \frac{\partial \vec{R}_0}{\partial u^\alpha} \cdot \frac{\partial \vec{R}_0}{\partial u^\beta} du^\alpha du^\beta = \\ &= \vec{e}_\alpha \cdot \vec{e}_\beta du^\alpha du^\beta = a_{\alpha\beta} du^\alpha du^\beta; \end{aligned} \quad (3)$$

$$\begin{aligned} B &= -d\vec{R}_0 \cdot d\vec{n} = -\frac{\partial \vec{R}_0}{\partial u^\alpha} \cdot \frac{\partial \vec{n}}{\partial u^\beta} du^\alpha du^\beta = \\ &= -\vec{e}_\alpha \cdot \frac{\partial \vec{n}}{\partial u^\beta} du^\alpha du^\beta = b_{\alpha\beta} du^\alpha du^\beta; \end{aligned} \quad (4)$$

$$\begin{aligned} C &= d\vec{n} \cdot d\vec{n} = \frac{\partial \vec{n}}{\partial u^\alpha} \cdot \frac{\partial \vec{n}}{\partial u^\beta} du^\alpha du^\beta = \\ &= \frac{\partial \vec{n}}{\partial u^\beta} \cdot \frac{\partial \vec{n}}{\partial u^\alpha} du^\alpha du^\beta = c_{\alpha\beta} du^\alpha du^\beta, \end{aligned} \quad (5)$$

где  $\vec{n}$  – вектор единичной нормали к поверхности  $S_2$ ,  $a_{\alpha\beta}, b_{\alpha\beta}, c_{\alpha\beta}$  – коэффициенты первой, второй и третьей квадратичных форм поверхности (по повторяющимся греческим индексам подразумевается суммирование от 1 до 2).

Найдем коэффициенты первой квадратичной формы А:

$$A = \begin{pmatrix} a_{11} & a_{12} \\ a_{21} & a_{22} \end{pmatrix}; \quad (6)$$

$$\begin{aligned} \vec{e}_1 &= \frac{\partial \vec{R}_0}{\partial u^1} = (\cos(u^2), \sin(u^2), Z') = \\ &= (\cos(\varphi), \sin(\varphi), Z'); \end{aligned}$$

$$\vec{e}_2 = \frac{\partial \vec{R}_0}{\partial u^2} = (-u^1 \sin(u^2), u^1 \cos(u^2), Z'_2) =$$

$$\begin{aligned} &= (-u^1 \sin(u^2), u^1 \cos(u^2), 0) = \\ &= (-r \sin(\varphi), r \cos(\varphi), 0); \\ a_{11} &= \vec{e}_1 \cdot \vec{e}_1 = 1 + Z'^2, \\ a_{12} &= a_{21} = \vec{e}_1 \cdot \vec{e}_2 = 0, \end{aligned} \quad (7)$$

$$a_{22} = \vec{e}_2 \cdot \vec{e}_2 = (u^1)^2 = r^2;$$

$$\left( \begin{array}{l} Z'_\alpha = \frac{\partial Z}{\partial u^\alpha}, \alpha = 1, 2; \\ Z'_1 = Z' = \frac{\partial Z}{\partial r} = \frac{dZ}{dr}, Z'_2 = \frac{\partial Z}{\partial \varphi} = 0 \end{array} \right).$$

Координатные линии на  $S_2$  представляют собой два семейства кривых  $u^1 \equiv r = const$  – окружности и  $u^2 \equiv \varphi = const$  – линии, лежащие в полуплоскостях  $\varphi = const$ . Матрица А – диагональная. Это означает – данная криволинейная система координат на поверхности  $S_2$  является ортогональной, кривые разных семейств пересекаются под прямым углом.

Единичная нормаль  $\vec{n}$  к  $S_2$  определяется векторным произведением:

$$\begin{aligned} \vec{n} &= \frac{\vec{e}_1 \times \vec{e}_2}{|\vec{e}_1 \times \vec{e}_2|} = \\ &= \frac{1}{\sqrt{1+Z'^2}} (-Z' \cos(u^2), -Z' \sin(u^2), 1) = \\ &= \frac{1}{\sqrt{1+Z'^2}} (-Z' \cos(\varphi), -Z' \sin(\varphi), 1). \end{aligned} \quad (8)$$

Тогда матрицы второй и третьей квадратичных форм:

$$B = \begin{pmatrix} b_{11} & b_{12} \\ b_{21} & b_{22} \end{pmatrix}; \quad C = \begin{pmatrix} c_{11} & c_{12} \\ c_{21} & c_{22} \end{pmatrix}$$

согласно (3) и (4) будут иметь вид:

$$\begin{aligned} b_{11} &= \frac{Z''}{\sqrt{1+Z'^2}}, \\ b_{12} &= b_{21} = 0, \\ b_{22} &= \frac{u^1 Z'}{\sqrt{1+Z'^2}} = \frac{r Z'}{\sqrt{1+Z'^2}}. \end{aligned} \quad (9)$$



$$c_{11} = \frac{Z'^2}{(1+Z'^2)^2},$$

$$c_{12} = c_{21} = 0,$$

$$c_{22} = \frac{Z'^2}{1+Z'^2}. \quad (10)$$

Введем локальную криволинейную систему координат  $(x^1, x^2, x^3)$  (рис.3).

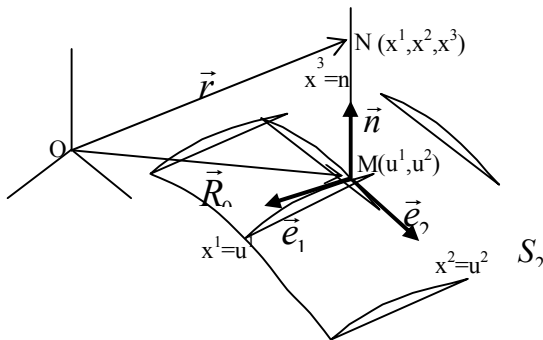


Рис. 3. Локальная система координат

Координаты пространственной т.  $N$  определяются следующим образом: из этой точки опускается перпендикуляр на поверхность  $S_2$ , основание  $M$  которого лежит на поверхности  $S_2$  и имеет координаты  $(u^1 = r, u^2 = \varphi)$ . Через  $n$  обозначим расстояние, отсчитываемое от т.  $M$  к т.  $N$ . Тогда примем  $x^1 = u^1 = r, x^2 = u^2 = \varphi$ .

Радиус-вектор  $\vec{r}$  т.  $N$  можно записать в виде:

$$\vec{r} = \vec{R}_0(u^1, u^2) + n\vec{n}(u^1, u^2). \quad (11)$$

Базисные вектора  $(\vec{E}_1, \vec{E}_2, \vec{E}_3)$  этой системы координат определяются соотношениями [6]:

$$\vec{E}_1 = \vec{E}_1(u^1, u^2, n) = \frac{\partial \vec{r}}{\partial u^1} =$$

$$= \frac{\partial \vec{R}_0(u^1, u^2)}{\partial u^1} + n \frac{\partial \vec{n}(u^1, u^2)}{\partial u^1};$$

$$\vec{E}_2 = \vec{E}_2(u^1, u^2, n) = \frac{\partial \vec{r}}{\partial u^2} =$$

$$= \frac{\partial \vec{R}_0(u^1, u^2)}{\partial u^2} + n \frac{\partial \vec{n}(u^1, u^2)}{\partial u^2};$$

$$\vec{E}_3 = \vec{E}_3(u^1, u^2, n) =$$

$$= \frac{\partial \vec{r}(u^1, u^2, n)}{\partial n} = \vec{n}(u^1, u^2). \quad (12)$$

Для записи дифференциальных операций при использовании криволинейных координат требуется привлечение ковариантного дифференцирования [4-6]. Ковариантная производная использует понятие метрического тензора  $\hat{g}$  – симметричного тензора второго ранга, определяемого матрицей  $\|g_{ij}\|_{i,j=1}^3$ , коэффициенты которой выражаются через базисные вектора  $g_{i,j} = \vec{E}_i \cdot \vec{E}_j$ . Согласно (12) компоненты указанного тензора имеют вид:

$$g_{11} = a_{11}(u^1, u^2) - 2n b_{11}(u^1, u^2) + n^2 c_{11}(u^1, u^2);$$

$$g_{12} = g_{21} = a_{12}(u^1, u^2) - 2n b_{12}(u^1, u^2) + n^2 c_{12}(u^1, u^2);$$

$$g_{13} = g_{31} = g_{23} = g_{32} = 0; \quad g_{33} = 1$$

$$g_{22} = a_{22}(u^1, u^2) - 2n b_{22}(u^1, u^2) + n^2 c_{22}(u^1, u^2). \quad (13)$$

Дважды контравариантные компоненты  $g^{ij}$  этого метрического тензора представляются матрицей, коэффициенты которой совпадают с коэффициентами обратной матрицы:

$$\|g^{ij}\|_{i,j=1}^3 = \begin{pmatrix} \frac{g_{22}}{\det g} & -\frac{g_{21}}{\det g} & 0 \\ -\frac{g_{12}}{\det g} & \frac{g_{11}}{\det g} & 0 \\ 0 & 0 & 1 \end{pmatrix}, \quad (14)$$

$$\det g = \begin{vmatrix} g_{11} & g_{12} & 0 \\ g_{21} & g_{22} & 0 \\ 0 & 0 & 1 \end{vmatrix}.$$

Как известно, любой вектор  $\vec{v}$  может быть разложен по любому базису, в частности по базисным векторам  $(\vec{E}_1, \vec{E}_2, \vec{E}_3)$ :



$$\vec{v} = v^i \vec{E}_i, \quad (15)$$

где  $v^i$  представляют собой контравариантные компоненты вектора (по повторяющимся латинским индексам суммирование от 1 до 3). При дифференцировании вектора необходимо учитывать то, что базисные вектора являются переменными и зависят от криволинейных координат  $(x^1, x^2, x^3)$ :

$$\frac{\partial \vec{v}}{\partial x^k} = \frac{\partial v^i}{\partial x^k} \vec{E}_i + v^i \frac{\partial \vec{E}_i}{\partial x^k}. \quad (16)$$

Вектор  $\frac{\partial \vec{E}_i}{\partial x^k}$ , в свою очередь может быть разложен по выбранным базисным векторам:

$$\frac{\partial \vec{E}_i}{\partial x^k} = \Gamma_{ik}^j \vec{E}_j. \quad (17)$$

Коэффициенты данного разложения  $\Gamma_{ik}^j$  называют символами Кристоффеля второго рода, и определяются они через компоненты метрического тензора:

$$\Gamma_{ik}^j = \frac{1}{2} g^{jm} \left( \frac{\partial g_{mi}}{\partial x^k} + \frac{\partial g_{mk}}{\partial x^i} - \frac{\partial g_{ik}}{\partial x^m} \right), \quad (18)$$

$$(i, j, k, m = 1, 2, 3).$$

Объединяя соотношения (15), (16) и меняя названия «немых» (повторяющихся) индексов, получаем:

$$\begin{aligned} \frac{\partial \vec{v}}{\partial x^k} &= \frac{\partial v^i}{\partial x^k} \vec{E}_i + v^i \Gamma_{ik}^j \vec{E}_j = \\ &= \left( \frac{\partial v^i}{\partial x^k} + \Gamma_{jk}^i v^j \right) \vec{E}_i, \end{aligned} \quad (19)$$

$$\begin{aligned} \Gamma_{11}^1 &= \frac{(a_{22} - 2nb_{22} + n^2c_{22}) \left( \frac{\partial a_{11}}{\partial u^1} - 2n \frac{\partial b_{11}}{\partial u^1} + n^2 \frac{\partial c_{11}}{\partial u^1} \right)}{2 \det g} - \frac{(a_{12} - 2nb_{12} + n^2c_{12})}{2 \det g} \times \\ &\times \left( 2 \frac{\partial a_{12}}{\partial u^1} - 4n \frac{\partial b_{12}}{\partial u^1} + 2n^2 \frac{\partial c_{12}}{\partial u^1} - \frac{\partial a_{11}}{\partial u^2} + 2n \frac{\partial b_{11}}{\partial u^2} - n^2 \frac{\partial c_{11}}{\partial u^2} \right), \\ \Gamma_{12}^1 = \Gamma_{21}^1 &= \frac{(a_{22} - 2nb_{22} + n^2c_{22}) \left( \frac{\partial a_{11}}{\partial u^2} - 2n \frac{\partial b_{11}}{\partial u^2} + n^2 \frac{\partial c_{11}}{\partial u^2} \right)}{2 \det g} - \\ &- \frac{(a_{12} - 2nb_{12} + n^2c_{12}) \left( \frac{\partial a_{22}}{\partial u^1} - 2n \frac{\partial b_{22}}{\partial u^1} + n^2 \frac{\partial c_{22}}{\partial u^1} \right)}{2 \det g}, \end{aligned}$$

где сомножитель при базисном векторе  $\vec{E}_i$  представляет собой ковариантную производную контравариантного вектора по переменной  $x^k$ :

$$v_k^i = \frac{\partial v^i}{\partial x^k} + \Gamma_{jk}^i v^j. \quad (20)$$

В дальнейшем потребуется ковариантная производная тензора напряжений  $\sigma^{ij}$  – как дважды контравариантного тензора второго ранга. Ковариантная производная этого тензора имеет вид [6]:

$$\sigma_k^{ij} = \frac{\partial \sigma^{ij}}{\partial x^k} + \Gamma_{mk}^i \sigma^{mj} + \Gamma_{mk}^j \sigma^{im}. \quad (21)$$

В уравнения движения

$$\rho_\alpha \frac{d \vec{v}_\alpha}{dt} = \text{div} \hat{\sigma}_\alpha + \vec{f}_{\alpha\beta} + \rho_\alpha \vec{g} \quad \text{входят}$$

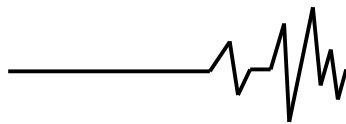
выражения  $\text{div}(\vec{v} \vec{v})$  и  $\text{div} \hat{\sigma}$ , которые в координатной форме можно записать в виде ковариантных векторов  $\text{div}(\vec{v} \vec{v}) = \vec{E}_k (v^i v^k)_i$ ,

$\text{div} \hat{\sigma} = \vec{E}_j \sigma_i^{ij}$ . Используя ковариантное дифференцирование, эти вектора можно записать в форме:

$$\begin{aligned} \text{div}(\vec{v} \vec{v})^j &= (v^i v^j)_i = \\ &= \left( \frac{\partial v^i v^j}{\partial x^i} + \Gamma_{ik}^i v^k v^j + \Gamma_{ik}^j v^k v^i \right), \end{aligned} \quad (22)$$

$$(\text{div} \hat{\sigma})^j = \frac{\partial \sigma^{ij}}{\partial x^i} + \Gamma_{ik}^i \sigma^{kj} + \Gamma_{ik}^j \sigma^{ki}.$$

Согласно соотношениям (13), (14), (18), получаем:



$$\Gamma_{13}^1 = \Gamma_{31}^1 = \frac{(a_{22} - 2nb_{22} + n^2c_{22})(-2b_{11} + 2nc_{11})}{2 \det g} - \frac{(a_{12} - 2nb_{12} + n^2c_{12})(-2b_{12} + 2nc_{12})}{2 \det g}, \quad (23)$$

$$\Gamma_{22}^1 = \frac{(a_{22} - 2nb_{22} + n^2c_{22})}{2 \det g} \times \left( 2 \frac{\partial a_{12}}{\partial u^2} - 4n \frac{\partial b_{12}}{\partial u^2} + 2n^2 \frac{\partial c_{12}}{\partial u^2} - \frac{\partial a_{22}}{\partial u^1} + 2n \frac{\partial b_{22}}{\partial u^1} - n^2 \frac{\partial c_{22}}{\partial u^1} \right) -$$

$$\frac{(a_{12} - 2nb_{12} + n^2c_{12}) \left( \frac{\partial a_{22}}{\partial u^2} - 2n \frac{\partial b_{22}}{\partial u^2} + n^2 \frac{\partial c_{22}}{\partial u^2} \right)}{2 \det g},$$

$$\Gamma_{23}^1 = \Gamma_{32}^1 = \frac{(a_{22} - 2nb_{22} + n^2c_{22})(-2b_{12} + 2nc_{12})}{2 \det g} - \frac{(a_{12} - 2nb_{12} + n^2c_{12})(-2b_{22} + 2nc_{22})}{2 \det g},$$

$$\Gamma_{11}^2 = - \frac{(a_{12} - 2nb_{12} + n^2c_{12}) \left( \frac{\partial a_{11}}{\partial u^1} - 2n \frac{\partial b_{11}}{\partial u^1} + n^2 \frac{\partial c_{11}}{\partial u^1} \right)}{2 \det g} +$$

$$+ \frac{(a_{11} - 2nb_{11} + n^2c_{11})}{2 \det g} \times \left( 2 \frac{\partial a_{12}}{\partial u^1} - 4n \frac{\partial b_{12}}{\partial u^1} + 2n^2 \frac{\partial c_{12}}{\partial u^1} - \frac{\partial a_{11}}{\partial u^2} + 2n \frac{\partial b_{11}}{\partial u^2} - n^2 \frac{\partial c_{11}}{\partial u^2} \right),$$

$$\Gamma_{12}^2 = \Gamma_{21}^2 = - \frac{(a_{12} - 2nb_{12} + n^2c_{12}) \left( \frac{\partial a_{11}}{\partial u^2} - 2n \frac{\partial b_{11}}{\partial u^2} + n^2 \frac{\partial c_{11}}{\partial u^2} \right)}{2 \det g} +$$

$$+ \frac{(a_{11} - 2nb_{11} + n^2c_{11}) \left( \frac{\partial a_{22}}{\partial u^1} - 2n \frac{\partial b_{22}}{\partial u^1} + n^2 \frac{\partial c_{22}}{\partial u^1} \right)}{2 \det g},$$

$$\Gamma_{13}^2 = \Gamma_{31}^2 = - \frac{(a_{12} - 2nb_{12} + n^2c_{12})(-2b_{11} + 2nc_{11})}{2 \det g} + \frac{(a_{11} - 2nb_{11} + n^2c_{11})(-2b_{12} + 2nc_{12})}{2 \det g},$$

$$\Gamma_{22}^2 = - \frac{(a_{12} - 2nb_{12} + n^2c_{12})}{2 \det g} \times \left( 2 \frac{\partial a_{12}}{\partial u^2} - 4n \frac{\partial b_{12}}{\partial u^2} + 2n^2 \frac{\partial c_{12}}{\partial u^2} - \frac{\partial a_{22}}{\partial u^1} + 2n \frac{\partial b_{22}}{\partial u^1} - n^2 \frac{\partial c_{22}}{\partial u^1} \right) +$$

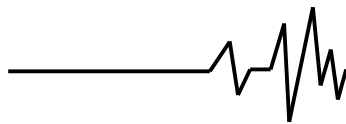
$$+ \frac{(a_{11} - 2nb_{11} + n^2c_{11}) \left( \frac{\partial a_{22}}{\partial u^2} - 2n \frac{\partial b_{22}}{\partial u^2} + n^2 \frac{\partial c_{22}}{\partial u^2} \right)}{2 \det g},$$

$$\Gamma_{23}^2 = \Gamma_{32}^2 = \frac{(a_{12} - 2nb_{12} + n^2c_{12})(2b_{12} - 2nc_{12})}{2 \det g} - \frac{(a_{11} - 2nb_{11} + n^2c_{11})(2b_{22} - 2nc_{22})}{2 \det g},$$

$$\Gamma_{11}^3 = b_{11} - nc_{11}, \quad \Gamma_{22}^3 = b_{22} - nc_{22},$$

$$\Gamma_{12}^3 = \Gamma_{21}^3 = b_{12} - nc_{12},$$

$$\Gamma_{33}^1 = \Gamma_{33}^2 = \Gamma_{13}^3 = \Gamma_{23}^3 = \Gamma_{31}^3 = \Gamma_{32}^3 = \Gamma_{33}^3 = 0.$$



Здесь  $\det g$  является определителем матрицы метрического тензора  $g$  :

$$\det g = (c_{11}c_{22} - c_{12}^2)n^4 - 2(b_{11}c_{22} + c_{11}b_{22} - 2b_{12}c_{12})n^3 + 2(b_{11}a_{22} + a_{11}b_{22} - 2a_{12}b_{12})n + a_{11}a_{22} - a_{12}^2. \quad (24)$$

Примем во внимание конкретный вид поверхности  $S_2$ . Тогда имеем:

$$A = \begin{pmatrix} Z'^2 + 1 & 0 \\ 0 & r^2 \end{pmatrix}; \quad (25)$$

$$B = \begin{pmatrix} \frac{Z''}{\sqrt{(Z'^2 + 1)}} & 0 \\ 0 & \frac{rZ'}{\sqrt{(Z'^2 + 1)}} \end{pmatrix}; \quad (26)$$

$$C = \begin{pmatrix} \frac{Z''^2}{(Z'^2 + 1)^2} & 0 \\ 0 & \frac{Z'^2}{Z'^2 + 1} \end{pmatrix}; \quad (27)$$

$$g = \begin{pmatrix} Z'^2 + 1 - 2\frac{nZ''}{\sqrt{(Z'^2 + 1)}} + \frac{n^2Z''^2}{(Z'^2 + 1)^2} & 0 & 0 \\ 0 & r^2 - 2\frac{nrZ'}{\sqrt{(Z'^2 + 1)}} + \frac{n^2Z'(r)^2}{Z'^2 + 1} & 0 \\ 0 & 0 & 1 \end{pmatrix}; \quad (28)$$

$$\Gamma_{11}^1 = -2\frac{Z''^3n^2Z'}{(Z'^2 + 1)^4} + \frac{nZ''^2Z'}{(Z'^2 + 1)^5} + \frac{Z'Z''}{Z'^2 + 1};$$

$$\Gamma_{22}^3 = \frac{rZ'}{\sqrt{Z'^2 + 1}} - \frac{nZ'^2}{Z'^2 + 1}.$$

$$\Gamma_{13}^1 = \Gamma_{31}^1 = \frac{Z''n}{(Z'^2 + 1)^3} - \frac{Z''}{(Z'^2 + 1)^2};$$

$$\Gamma_{22}^1 = -\frac{Z'Z''n^2}{(Z'^2 + 1)^3} + \frac{(Z'^3 + Z' + rZ'')n}{(Z'^2 + 1)^2} - \frac{r}{Z'^2 + 1};$$

$$\Gamma_{12}^2 = \Gamma_{21}^2 = \frac{n^2Z'Z''}{(Z'^2 + 1)^2 r^2} - \frac{(Z'^3 + Z' + rZ'')n}{(Z'^2 + 1)^2 r^2} + \frac{1}{r};$$

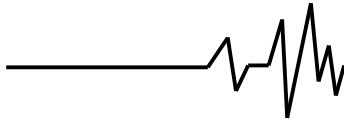
$$\Gamma_{23}^2 = \Gamma_{32}^2 = \frac{r^2\sqrt{Z'^2 + 1}Z'^2}{(Z'^2 + 1)^{3/2}} \times$$

$$\times \left( -2\frac{rZ'}{\sqrt{Z'^2 + 1}} + 2\frac{nZ'^2}{Z'^2 + 1} \right)^{-1};$$

$$\Gamma_{11}^3 = \frac{Z''}{\sqrt{(Z'^2 + 1)}} - \frac{nZ''^2}{(Z'^2 + 1)^2}; \quad (29)$$

Толщина смеси, движущейся по поверхности  $S_2$ , мала по сравнению с радиусом кривизны кривой ОАВС. Поэтому слагаемые, содержащие  $n$  во всех выражениях, представленных выше, являются малыми величинами. Запишем необходимые выражения с точностью до членов порядка  $\sim o(n)$ . Тогда контравариантные вектора  $\vec{v} \cdot \nabla \vec{v}$ ,  $\text{div} \hat{\sigma}$  принимают вид:

$$\begin{aligned} (\text{div}(\vec{v}\vec{v}))^1 &= \frac{\partial v^1 v^1}{\partial r} + \frac{\partial v^2 v^1}{\partial \varphi} + \frac{\partial v^3 v^1}{\partial n} + \\ &+ A_{1,1} v^1 v^1 - A_{1,3} v^1 v^3 - A_{2,2} v^2 v^2; \\ (\text{div}(\vec{v}\vec{v}))^2 &= \frac{\partial v^1 v^2}{\partial r} + \frac{\partial v^2 v^2}{\partial \varphi} + \\ &+ \frac{\partial v^2 v^3}{\partial n} + B_{1,2} v^1 v^2 - B_{2,3} v^2 v^3; \\ (\text{div}(\vec{v}\vec{v}))^3 &= \frac{\partial v^1 v^3}{\partial r} + \frac{\partial v^2 v^3}{\partial \varphi} + \frac{\partial v^3 v^3}{\partial n} + \\ &+ C_{1,1} v^1 v^1 + C_{1,3} v^1 v^3 + C_{2,2} v^2 v^2 - C_{3,3} v^3 v^3. \end{aligned} \quad (30)$$



$$\begin{aligned}
 (\operatorname{div} \hat{\sigma})^1 &= \frac{\partial}{\partial r} \sigma^{11} + \frac{\partial}{\partial \varphi} \sigma^{21} + \frac{\partial}{\partial n} \sigma^{31} + \\
 &+ A_{1,1} \sigma^{11} - A_{1,3} \sigma^{13} - A_{2,2} \sigma^{22}; \\
 (\operatorname{div} \hat{\sigma})^2 &= \frac{\partial}{\partial r} \sigma^{12} + \frac{\partial}{\partial \varphi} \sigma^{22} +
 \end{aligned}$$

$$+ \frac{\partial}{\partial n} \sigma^{32} + B_{1,2} \sigma^{12} - B_{2,3} \sigma^{23};$$

$$(\operatorname{div} \hat{\sigma})^3 = \frac{\partial}{\partial r} \sigma^{13} + \frac{\partial}{\partial \varphi} \sigma^{23} + \tag{31}$$

$$\begin{aligned}
 &+ \frac{\partial}{\partial n} \sigma^{33} + C_{1,1} \sigma^{11} + C_{1,3} \sigma^{13} + \\
 &+ C_{2,2} \sigma^{22} - C_{3,3} \sigma^{33},
 \end{aligned}$$

где

$$A_{1,1} = \frac{1}{r} + \frac{2Z'Z''}{(Z'^2 + 1)},$$

$$A_{1,3} = \frac{Z'}{r(Z'^2 + 1)^{\frac{1}{2}}} + \frac{3Z''}{(Z'^2 + 1)^{\frac{3}{2}}}, \tag{32}$$

$$A_{2,2} = \frac{r}{Z'^2 + 1};$$

$$B_{1,2} = \frac{3}{r} + \frac{Z'Z''}{Z'^2 + 1},$$

$$B_{2,3} = \frac{Z''}{(Z'^2 + 1)^{\frac{3}{2}}} + \frac{3Z'}{r(Z'^2 + 1)^{\frac{1}{2}}}; \tag{33}$$

$$C_{11} = \frac{Z''}{\sqrt{(Z'^2 + 1)}},$$

$$C_{13} = \frac{1}{r} + \frac{Z''}{Z'^2 + 1},$$

$$C_{22} = \frac{rZ'}{\sqrt{(Z'^2 + 1)}}, \tag{34}$$

$$C_{33} = \frac{Z''}{(Z'^2 + 1)^{\frac{3}{2}}} + \frac{Z'}{\sqrt{(Z'^2 + 1)}}.$$

Уравнение неразрывности содержит операцию  $\operatorname{div}(\rho \vec{v})$ . Запишем выражение для этого оператора в выбранной системе координат при сделанных предположениях:

$$\begin{aligned}
 \operatorname{div}(\rho \vec{v}) &= \frac{1}{r\sqrt{(Z'^2 + 1)}} \times \\
 &\times \frac{\partial}{\partial r} \left( r\sqrt{(Z'^2 + 1)} \rho v^1 \right) + \frac{\partial \rho v^2}{\partial \varphi} + \frac{\partial \rho v^3}{\partial n}.
 \end{aligned} \tag{35}$$

### Выводы

Получены формулы для нахождения первой, второй и третьей квадратичной форм поверхности  $S_2$ , необходимых для построения внутренних поверхностей тарельчатого разбрасывателя в выбранной системе координат. Составлено уравнение неразрывности потока с учетом этих значений. Это позволяет проводить дальнейшее исследование динамики очистки зернового слоя на тарельчатом разбрасывателе пневмосепарирующего устройства.

### Литература

1. Пат. 50587 Україна, МПК<sup>9</sup> B07B 1/00, B07B 4/00. Вібровідцентровий сепаратор / Тищенко Л.М., Пастушенко М.Г., Харченко С.О., Сліпченко М.В.; заявник та власник Харківський національний технічний університет сільського господарства ім. Петра Василенка. № 201000743; заявл. 26.01.10; опубл. 10.06.10, Бюл. №11/2010.
2. Тищенко Л.Н., Слипченко М.В. К исследованию динамики продуваемого слоя зерновой смеси / Л.Н. Тищенко, М.В. Слипченко // Праці Таврійського державного агротехнологічного університету: ТДАТУ, Вип. 10 - Т.7 - Мелітополь, 2010. – С. 201-209.
3. Тищенко Л.Н., Слипченко М.В. Динамика извлечения легких примесей пневмосепарирующим устройством виброцентробежного сепаратора / Л.Н. Тищенко, М.В. Слипченко // Вібрації в техніці та технологіях, № 1 (61), 2011. – С. 186-193.
4. Погорелов А.В. Лекции по дифференциальной геометрии. / А.В. Погорелов – Харьков: Изд-во Харьковск. гос. ун-та, 1967. - 163 с.
5. Мак-Коннел А.Дж. Введение в тензорный анализ. / А.Дж. Мак-Коннел – М.: Физматгиз, 1963. - 412 с.
6. Тарапов И.Е. Механика сплошной среды. / И.Е. Тарапов - В 3 ч., Ч.2: Общие законы кинематики и динамики. Харьков: Золотые страницы, 2002. - 516 с.